

Fig. 6.1 – (a) Dimensionamento dell' asse; (b) ipotesi di carico; (c) diagramma del momento flettente; (d) diagramma del taglio.

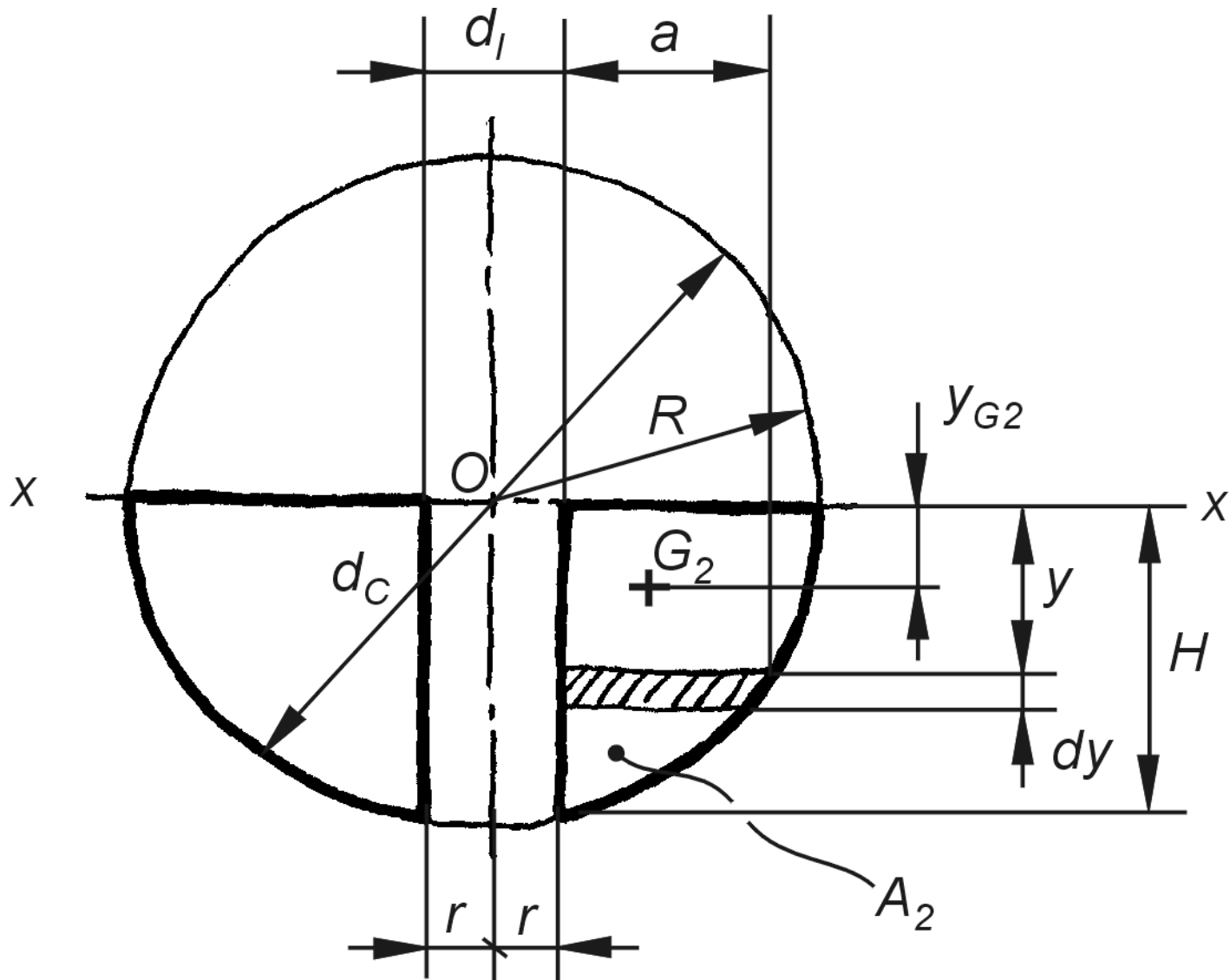


Fig. 6.2 – Determinazione dell' area, del baricentro e del momento statico di metà della parte inferiore relativa alle sezioni A-A e C-C dell' asse porta carrucolo.

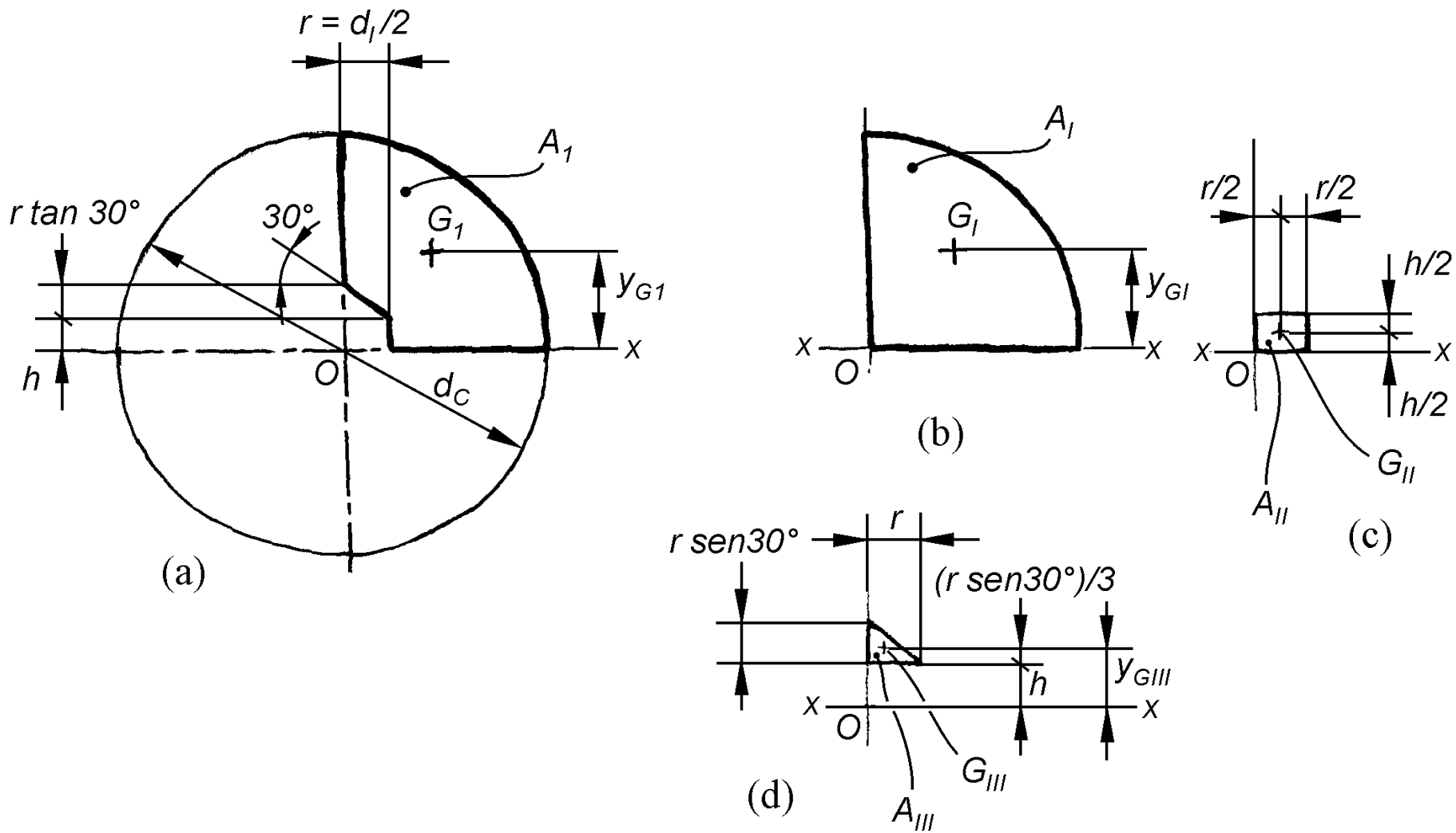


Fig. 6.3 – Determinazione dell' area, del baricentro e del momento statico di metà della parte superiore relativa alle sezioni A-A e C-C dell' asse porta carrucole.

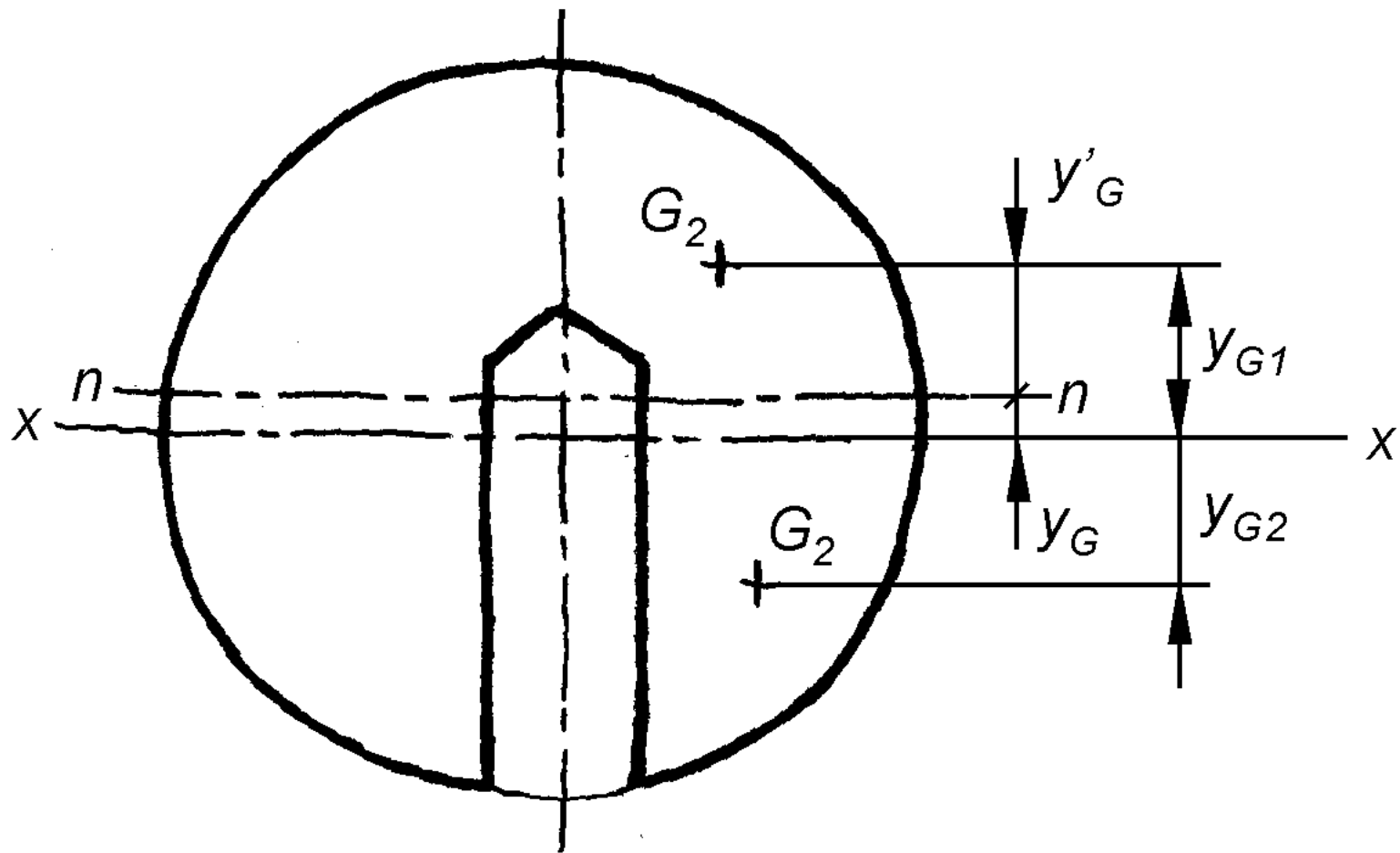


Fig. 6.4 – Determinazione del baricentro delle sezioni A-A e C-C complete dell' asse porta carrucole.

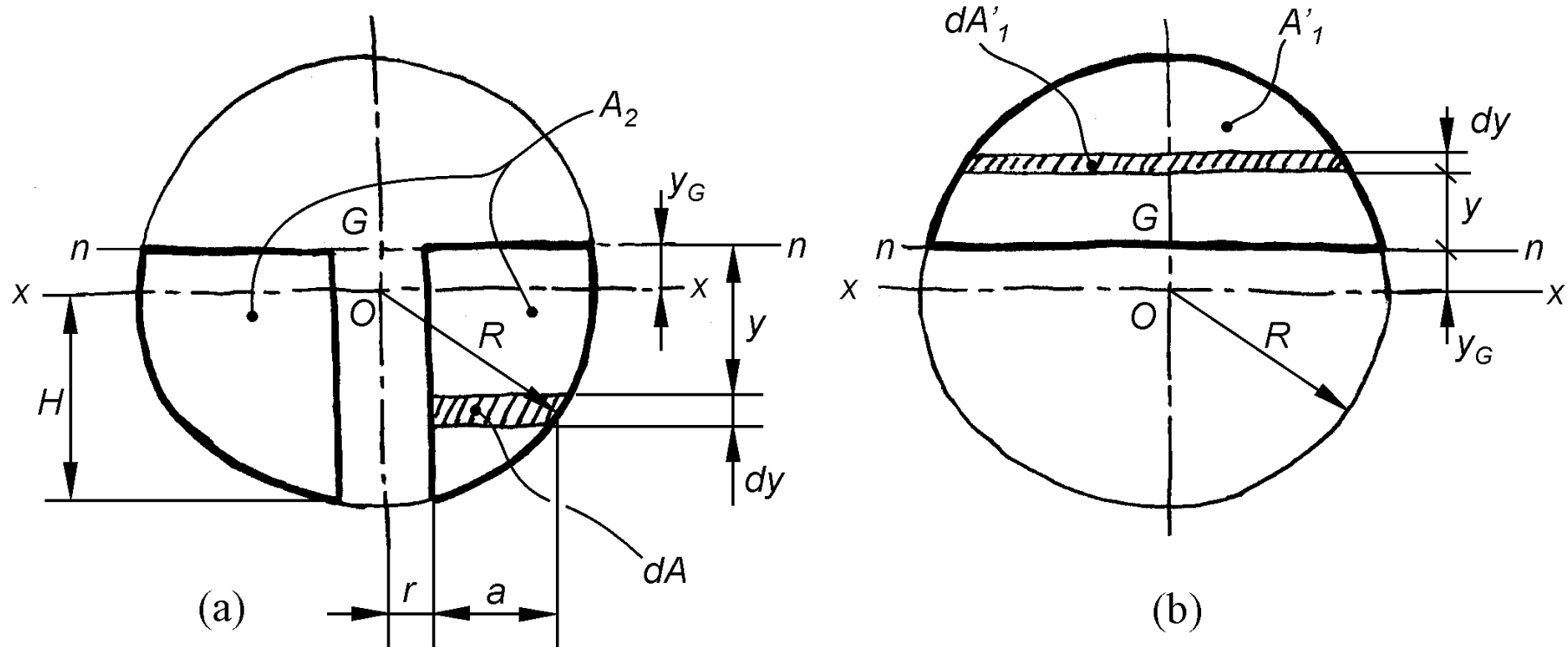


Fig. 6.5 – Calcolo del momento quadratico di superficie (a) dell' area  $A_2$  e (b) dell' area  $A'_1$  rispetto all' asse neutro n-n relativamente alle sezioni A-A e C-C dell' asse porta carrucole.

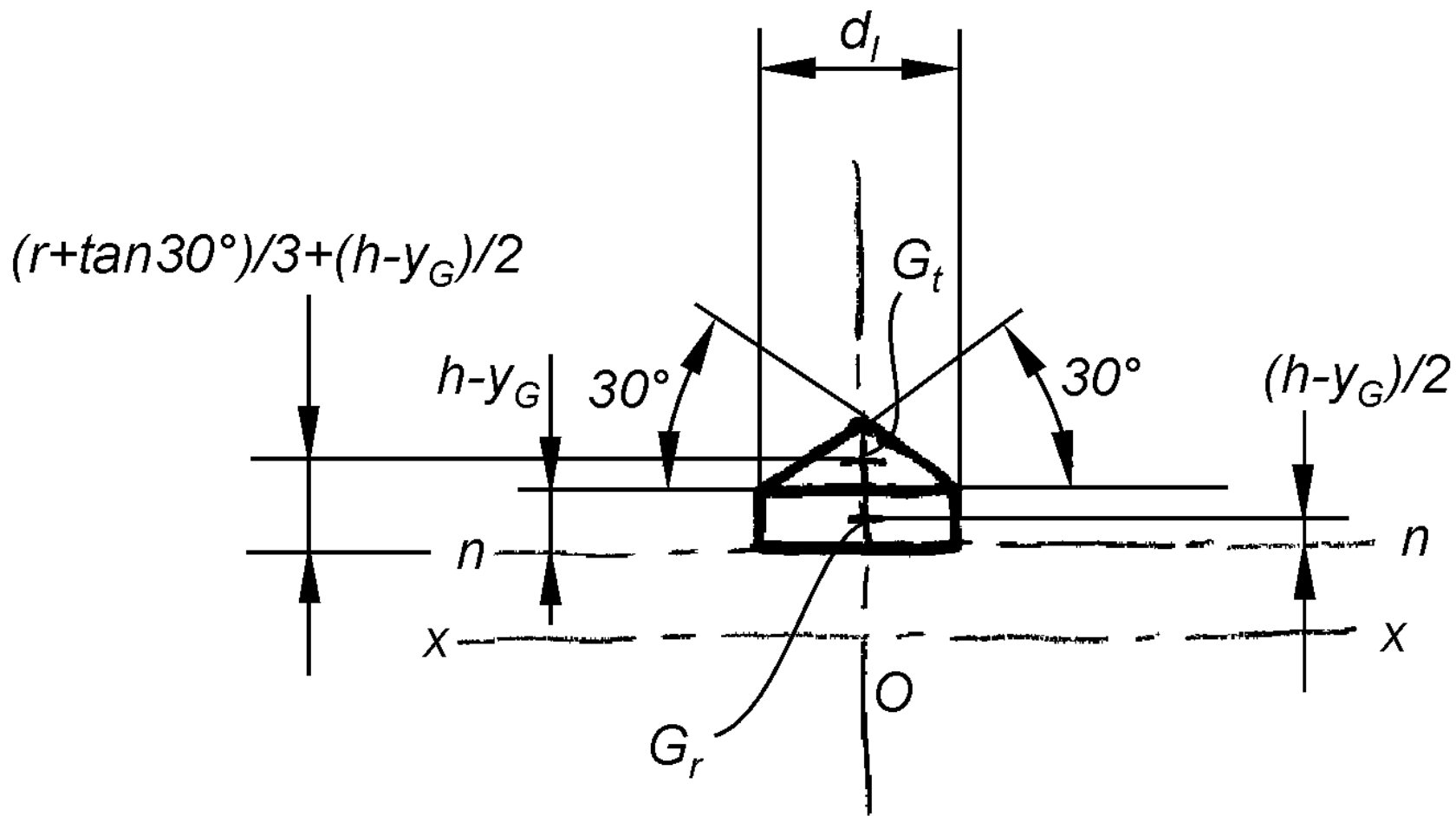


Fig. 6.6 – Calcolo dei momenti quadratici di superficie (a) dell' area  $J_{tn}$  e  $J_{rn}$ .

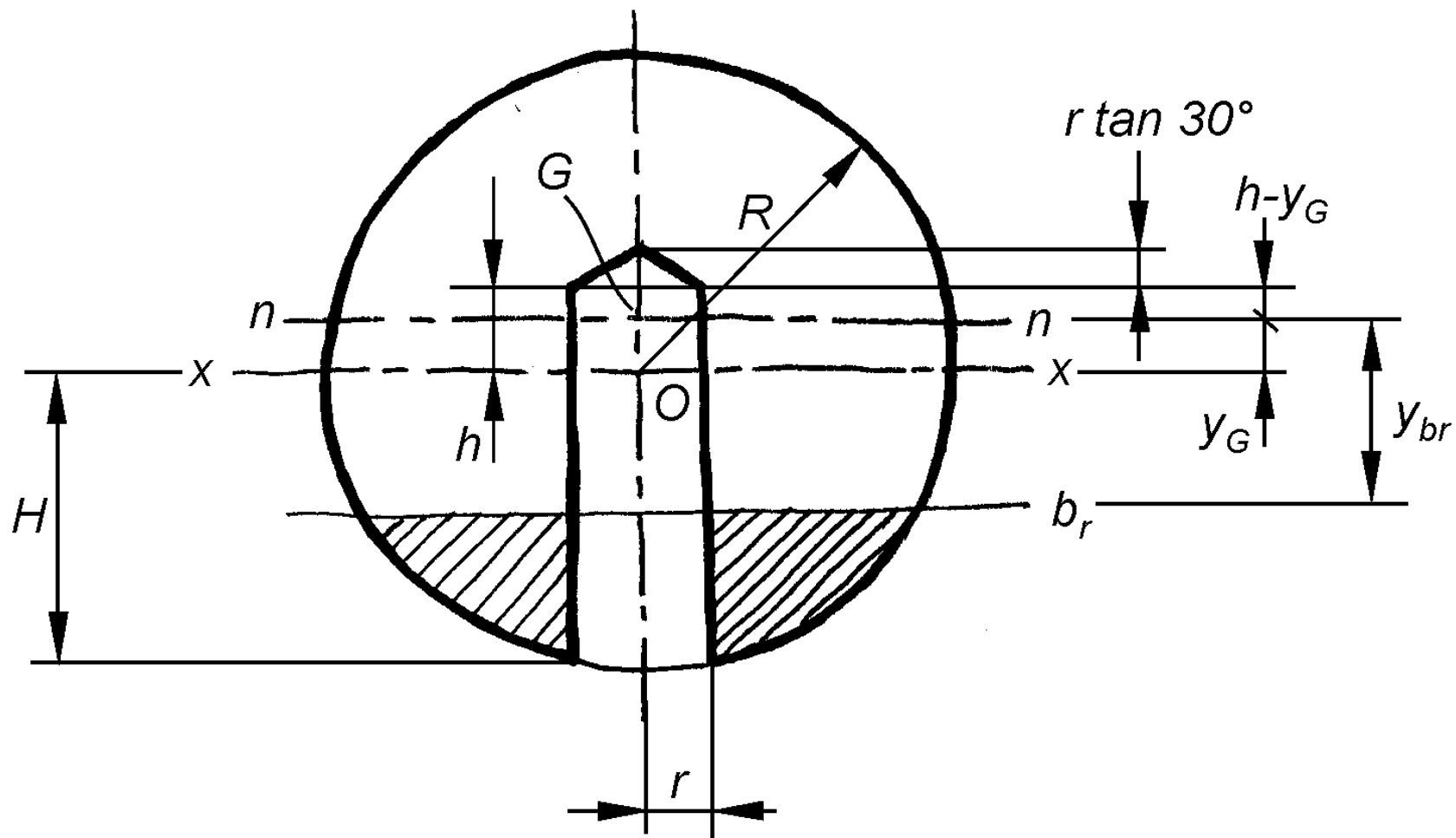


Fig. 6.7 – Calcolo del momento statico dell' area sottesa dalla corda  $b_r$  posta al di sotto della base dello scavo conico relativamente alle sezioni A-A e C-C dell' asse porta carrucole.

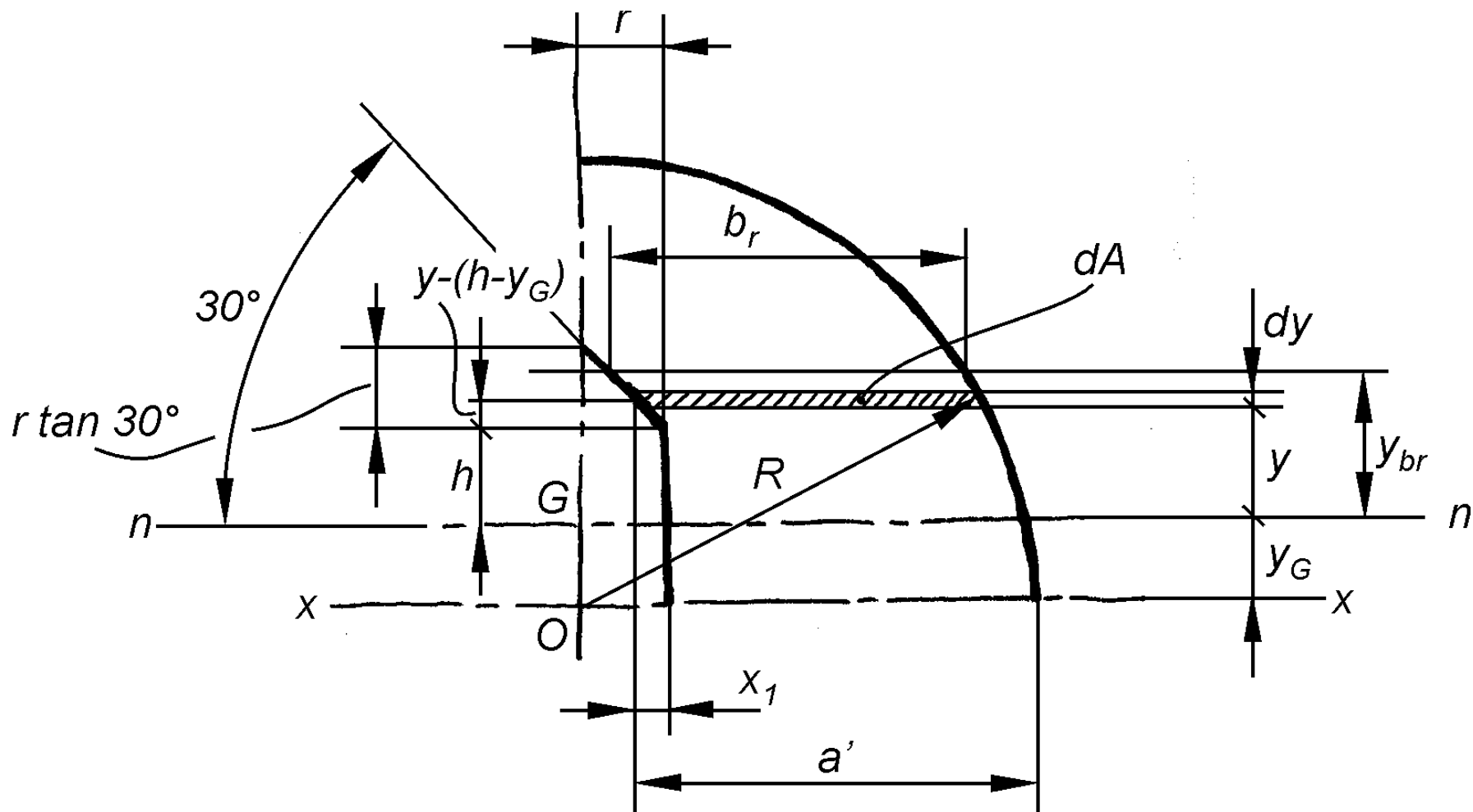


Fig. 6.8 – Calcolo del momento statico dell' area sottesa dalla corda  $b_r$  posta tra l' asse neutro n-n e il vertice dello scavo conico relativamente alle sezioni A-A e C-C dell' asse porta carrucole.



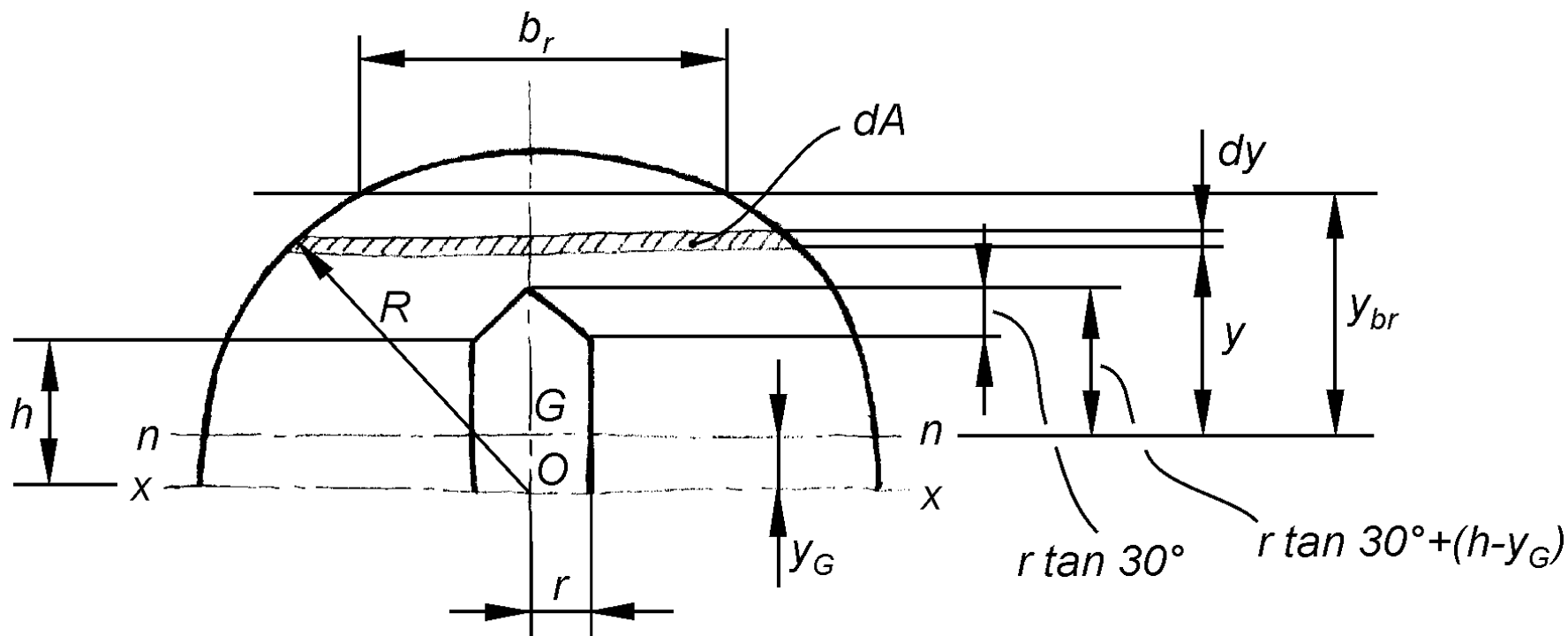


Fig. 6.9 – Calcolo del momento statico dell' area sottesa dalla corda  $b_r$  posta al di sopra del vertice dello scavo conico relativamente alle sezioni A-A e C-C dell' asse porta carrucole.

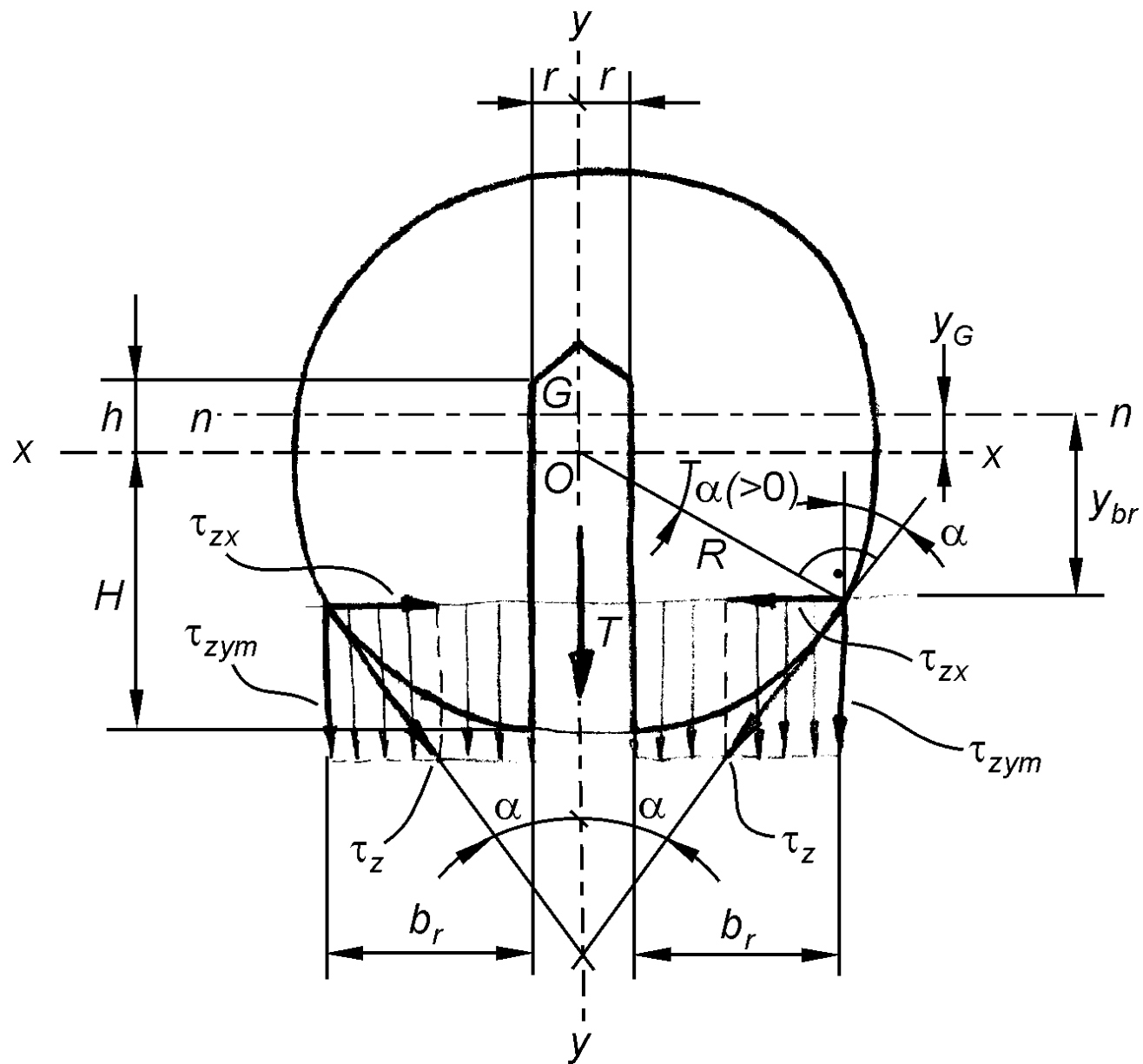


Fig. 6.10 – Calcolo della sollecitazione di taglio nei punti della corda  $b_r$  posta al di sotto dell'asse  $x-x$  relativamente alle sezioni A-A e C-C dell'asse porta carrucolo.

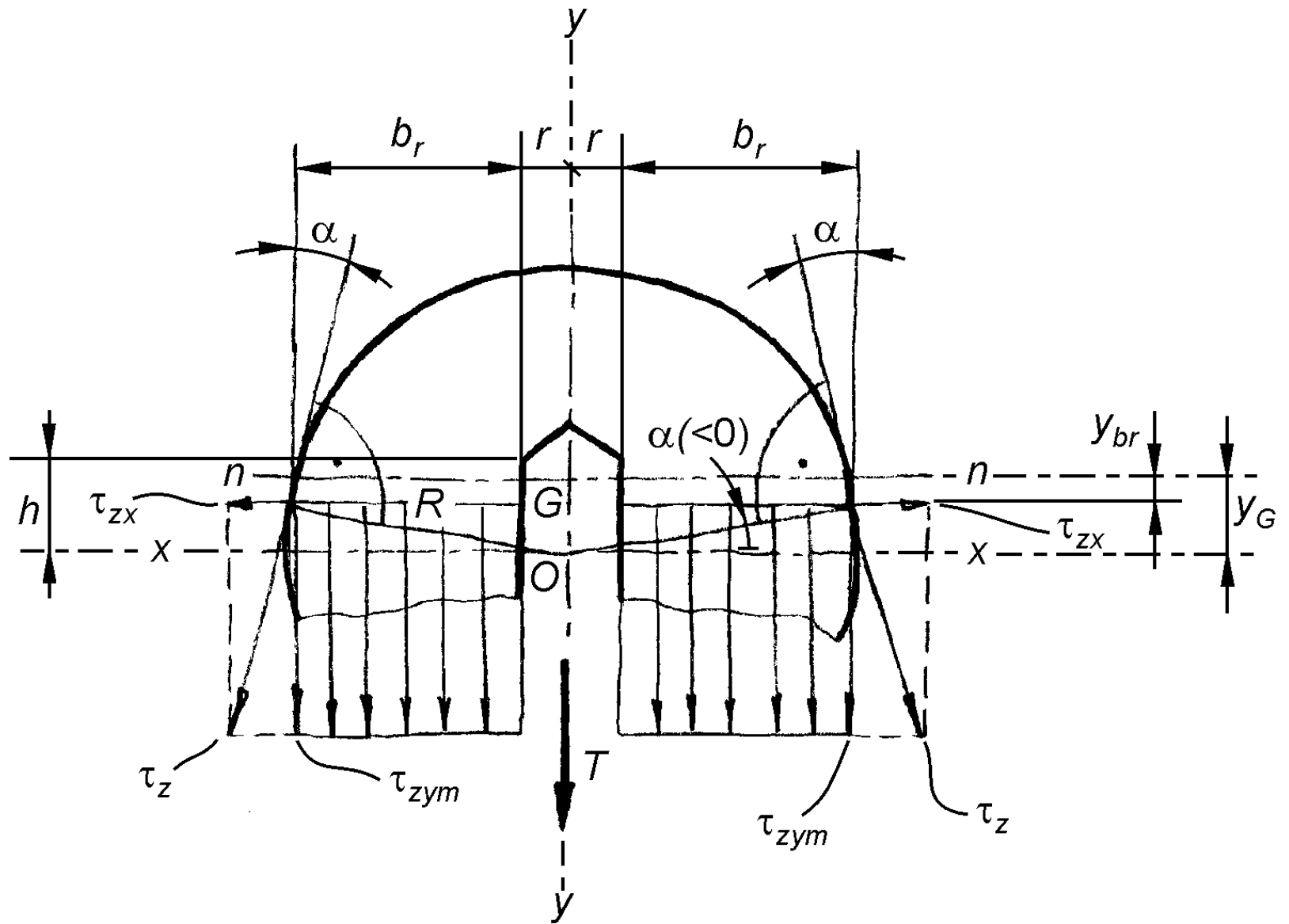


Fig. 6.11 – Calcolo della sollecitazione di taglio nei punti della corda  $b_r$  posta tra la base circolare dello scavo conico e l'asse x-x relativamente alle sezioni A-A e C-C dell' asse porta carrucole.

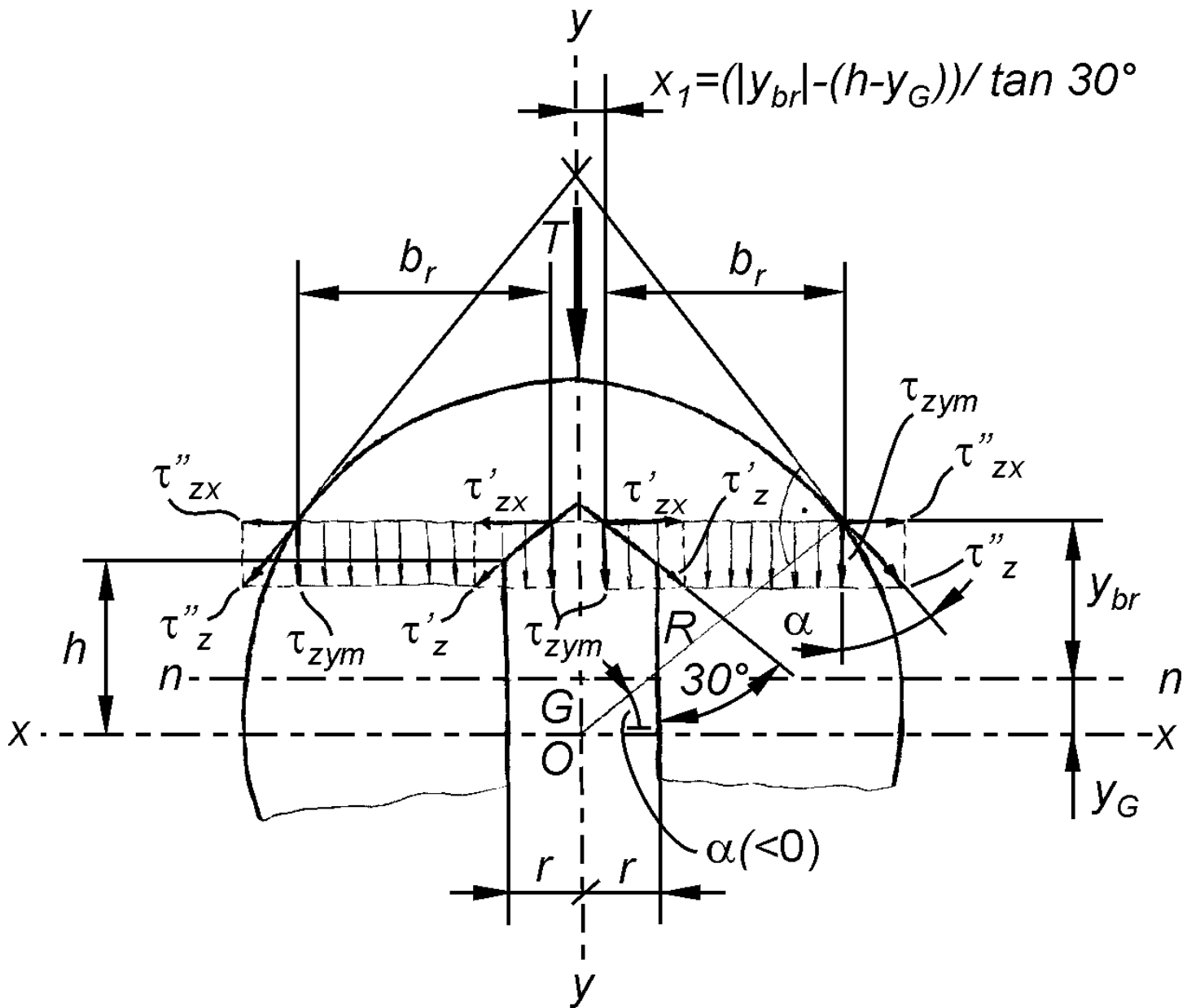


Fig. 6.12 – Calcolo della sollecitazione di taglio nei punti della corda  $b_r$  posta tra la base circolare dello scavo conico e il vertice dello stesso relativamente alle sezioni A-A e C-C dell'asse porta carrucole.

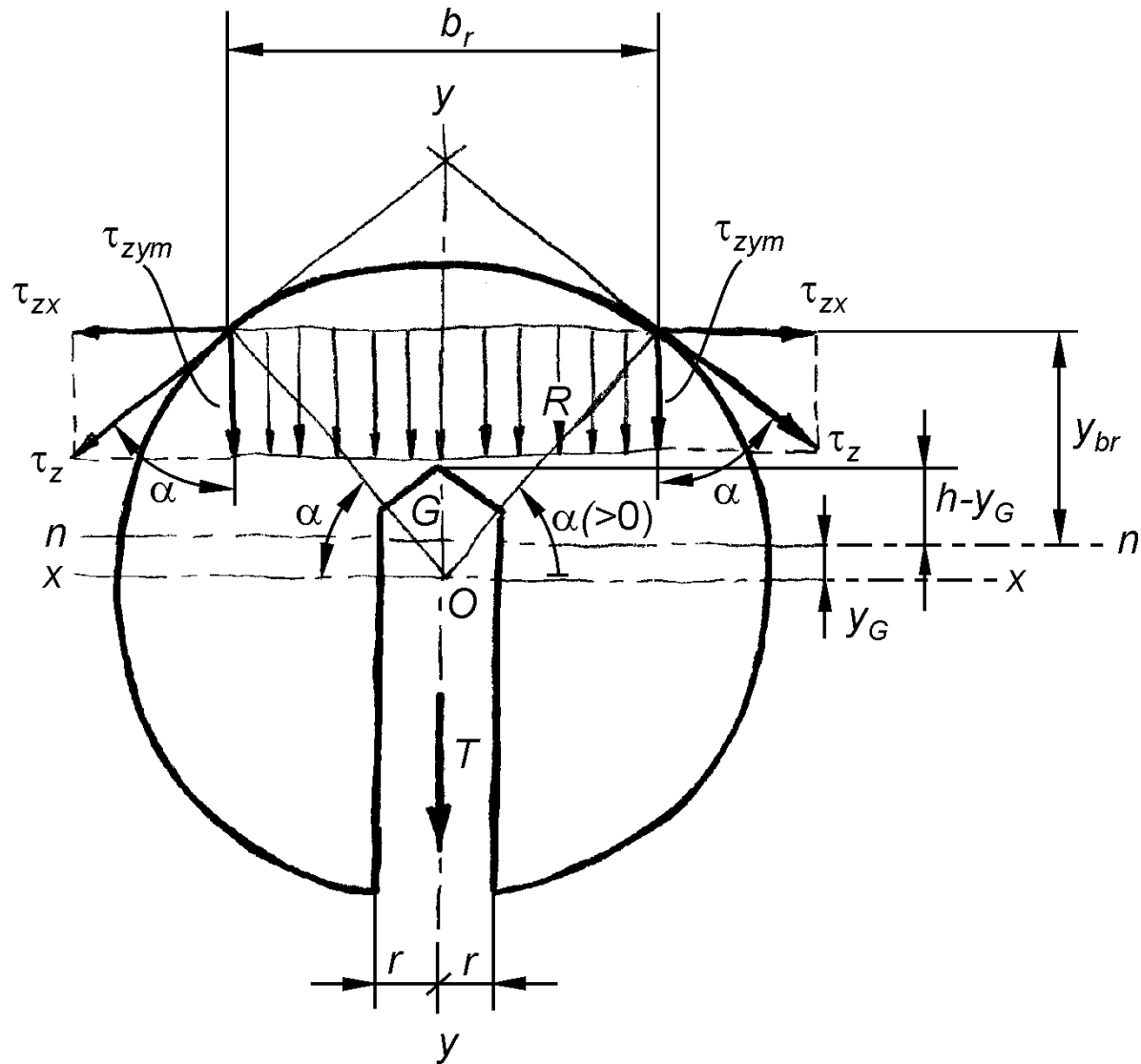
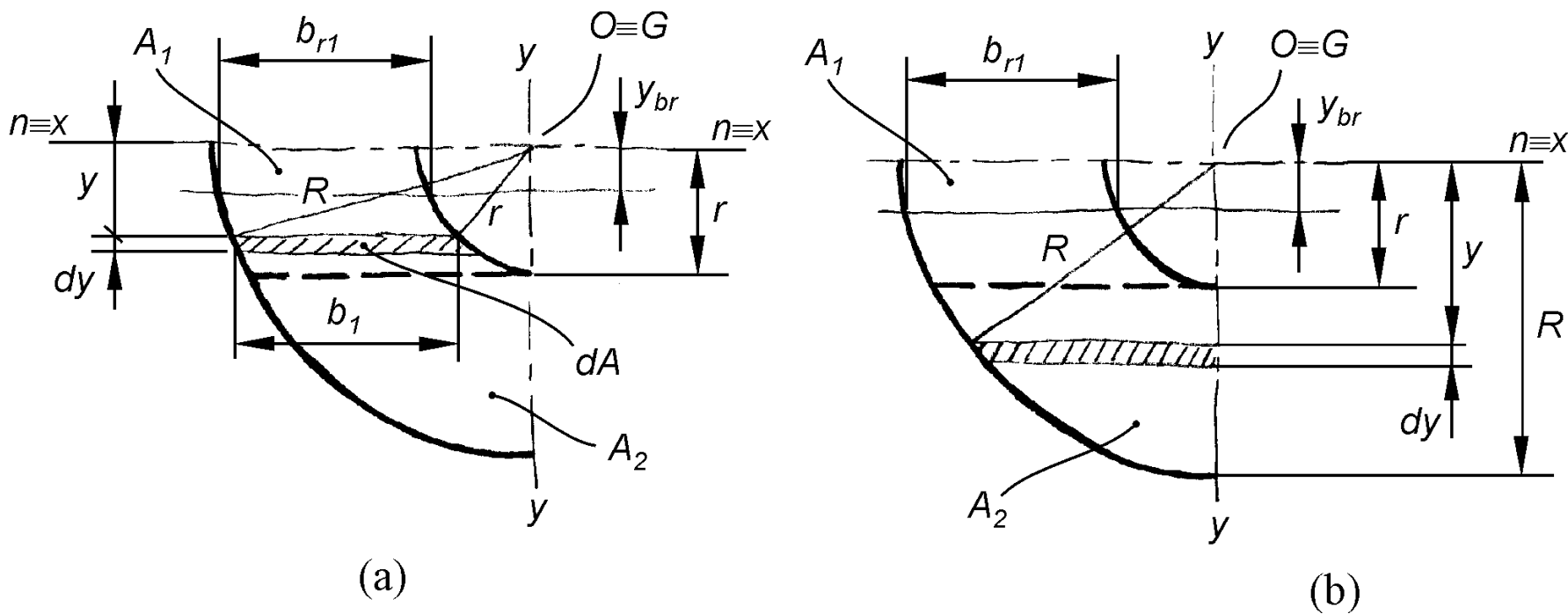


Fig. 6.13 – Calcolo della sollecitazione di taglio nei punti della corda  $b_r$  posta al di sopra del vertice dello scavo conico relativamente alle sezioni A-A e C-C dell' asse porta carrucole.



**Fig. 6.14 – Calcolo del momento statico dell' area sottesa dalla corda  $b_{r1}$  posta l' asse neutro  $n-n$  e la tangente orizzontale alla circonferenza di raggio  $r$  relativamente alla sezione B-B dell' asse porta carrucole.**

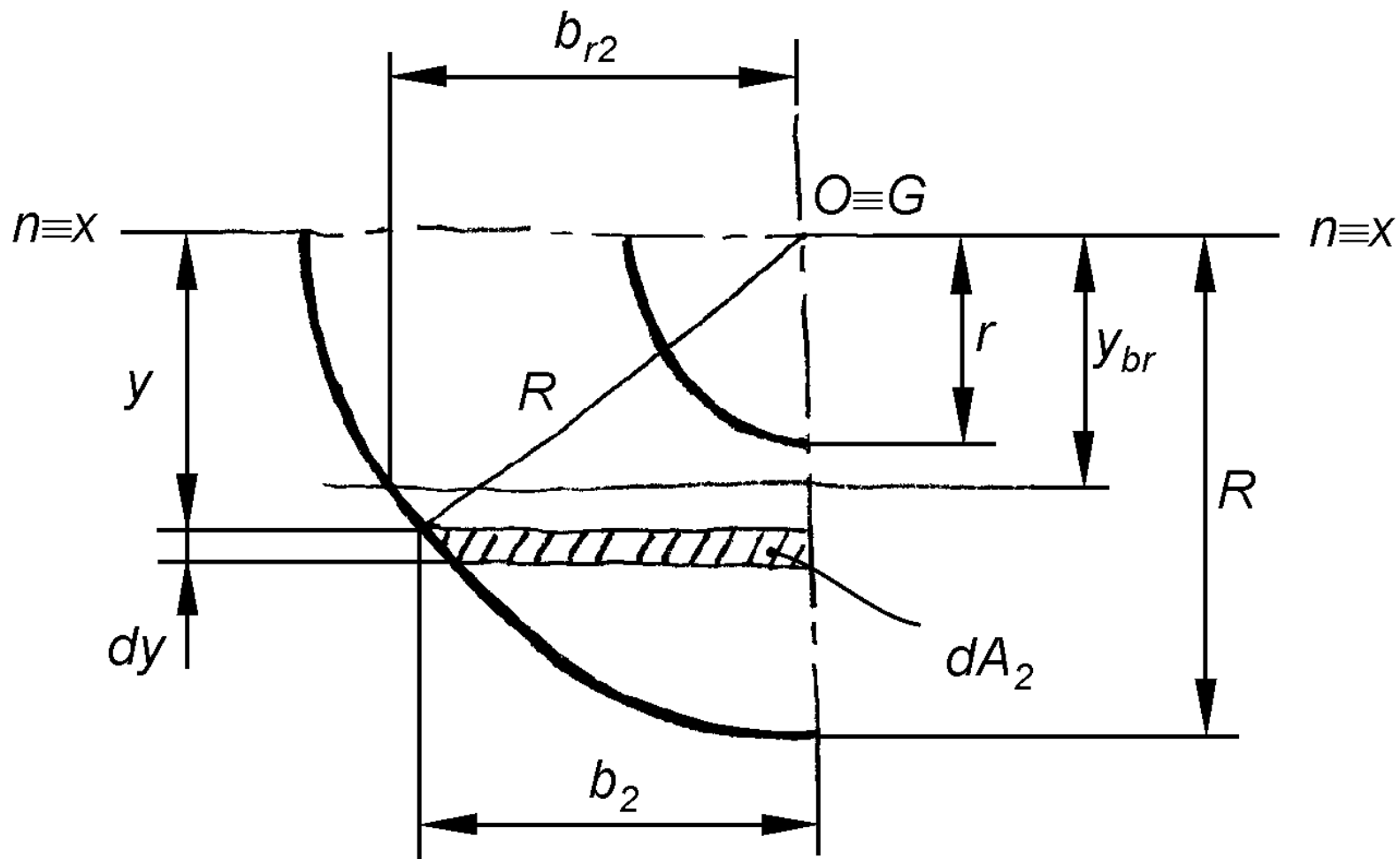
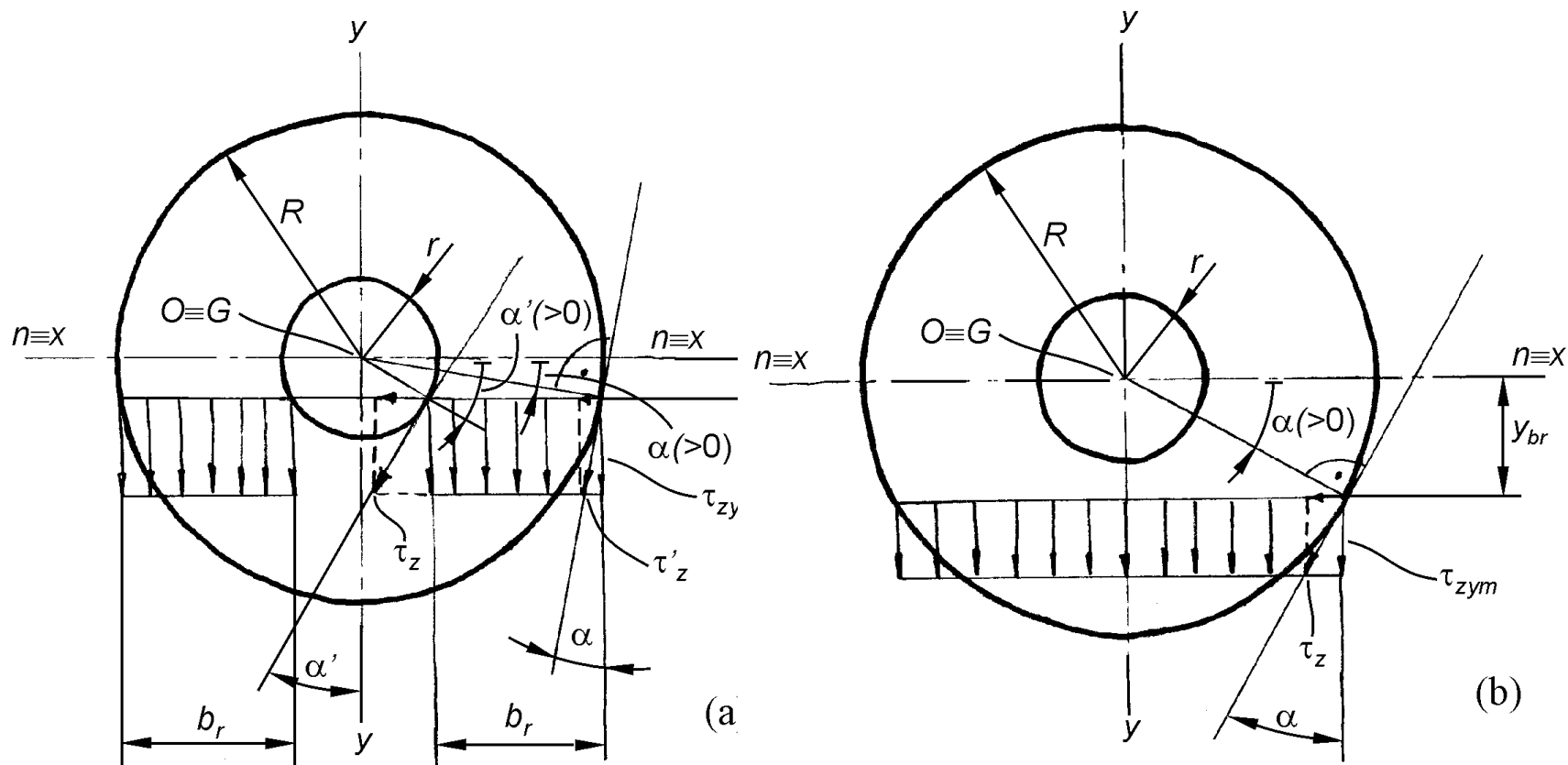
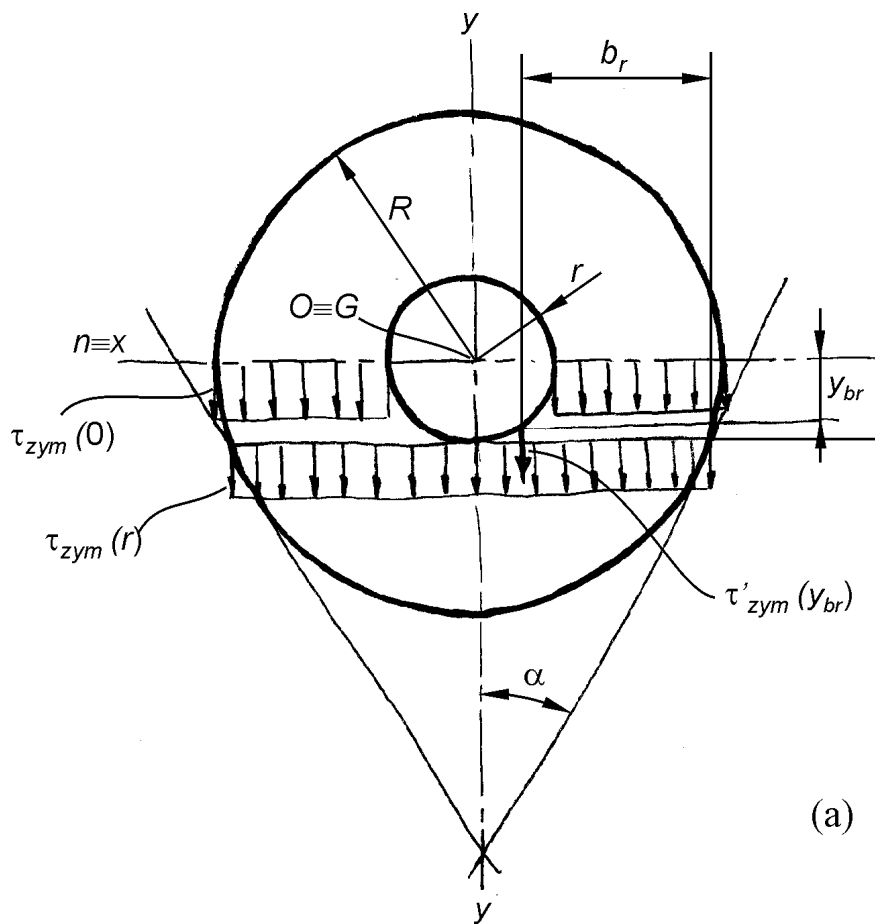


Fig. 6.15 – Calcolo del momento statico dell' area sottesa dalla corda  $b_{r2}$  posta tra l' asse neutro  $n-n$  e le due tangenti orizzontali alle rispettive circonferenze di raggio  $r$  e  $R$  relativamente alla sezione B-B dell' asse porta carrucole.

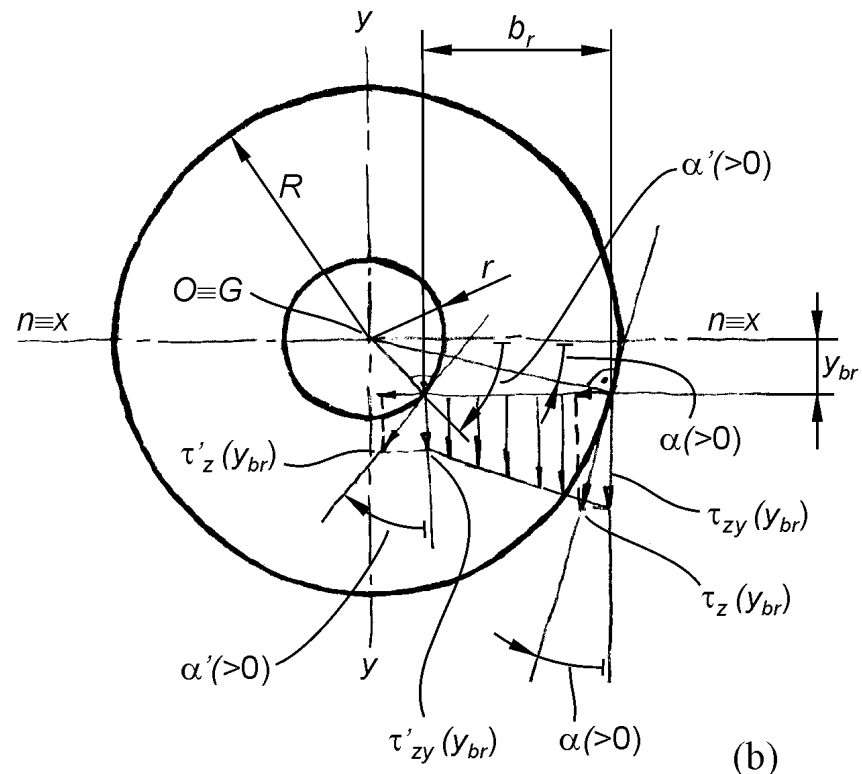


**Fig. 6.16 – (a) Primo calcolo della sollecitazione di taglio nei punti della corda  $b_r$  (a) secante e (b) non secante la circonferenza di raggio  $r$  relativamente alla sezione B-B dell' asse porta carrucole.**





(a)



(b)

**Fig. 6.17 – Calcolo della sollecitazione di taglio (a) sull' asse neutro, nei punti della corda  $b_r$  tangente alla circonferenza di raggio  $r$  e (b) nei punti di  $b_r$  secante la stessa circonferenza relativamente alla sezione B-B dell' asse porta carrucole.**

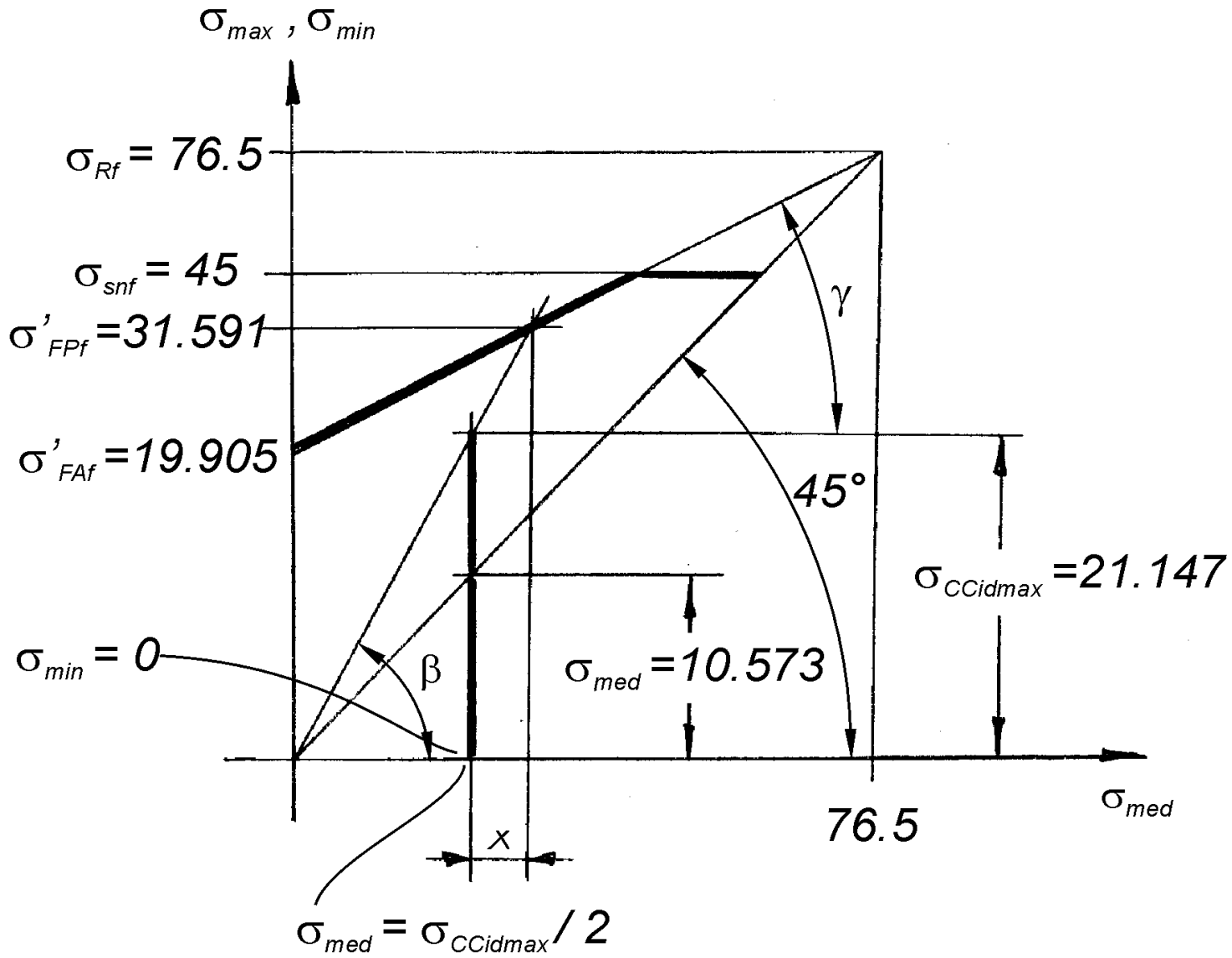
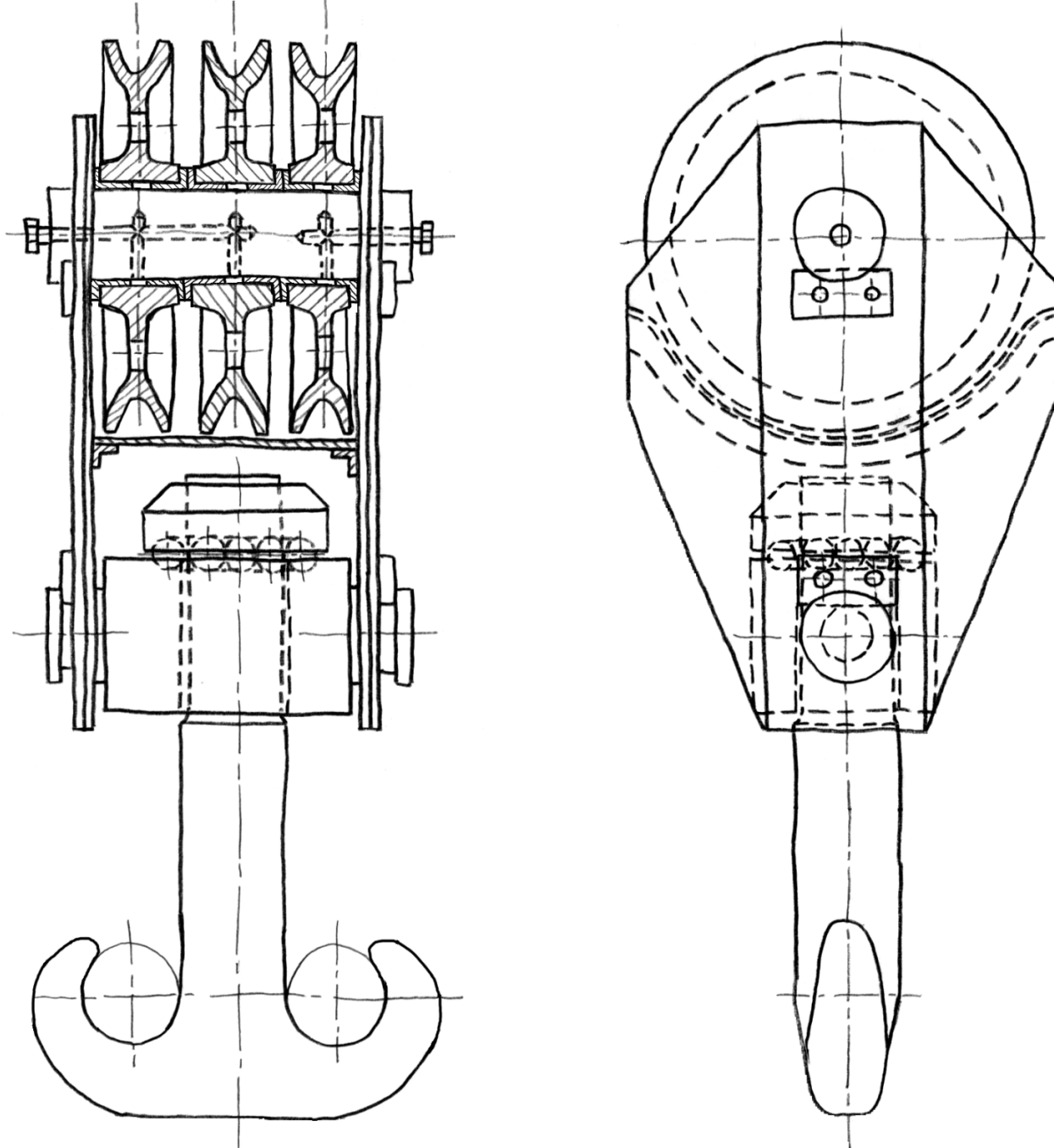


Fig. 6.18 – Diagramma di Smith.



**Fig. 6.19a – Schizzo non quotato complessivo bozzello e gancio da modellare.**

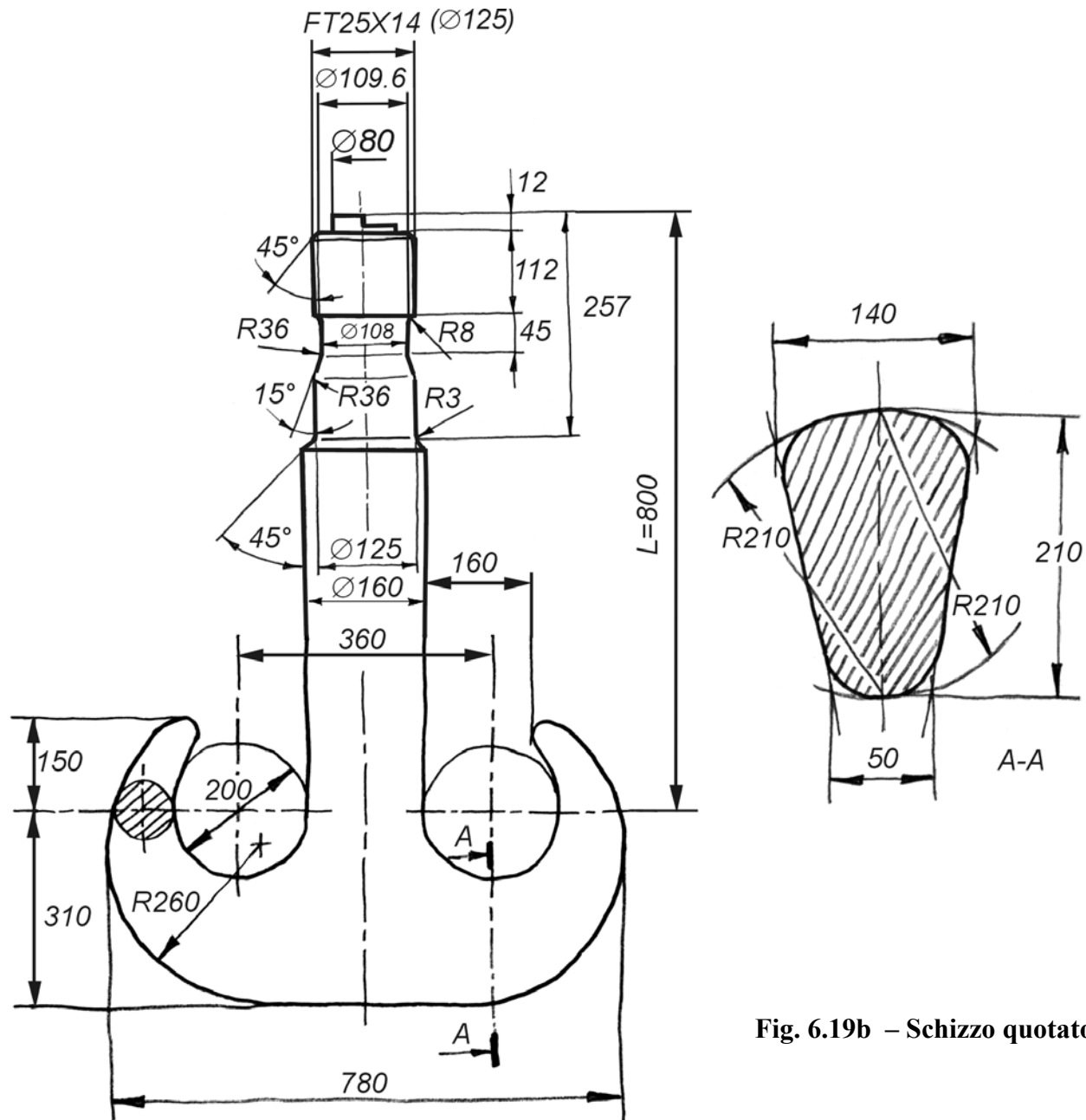


Fig. 6.19b – Schizzo quotato particolare gancio da modellare.

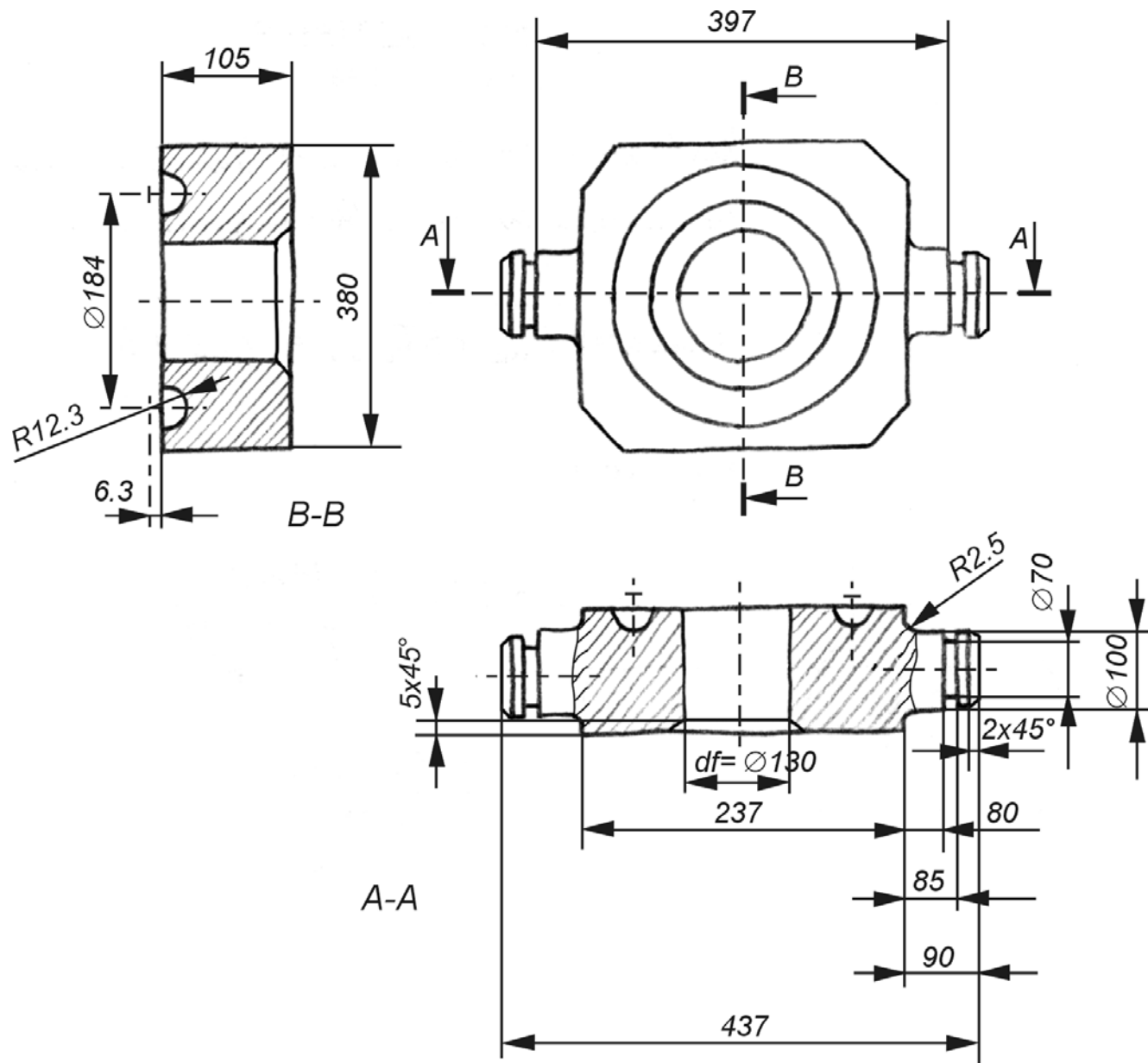


Fig. 6.19c – Schizzo quotato particolare traversa da modellare.

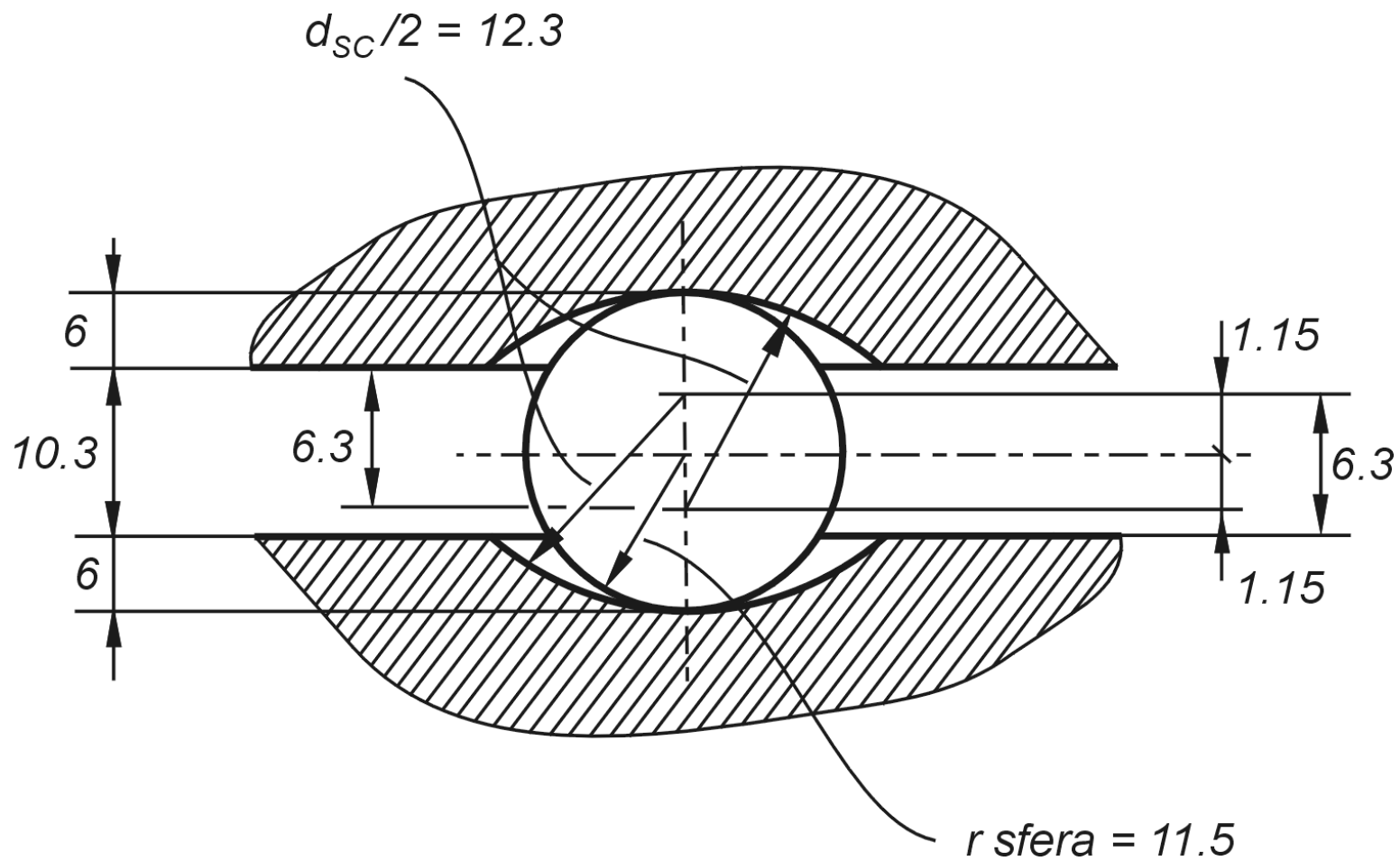
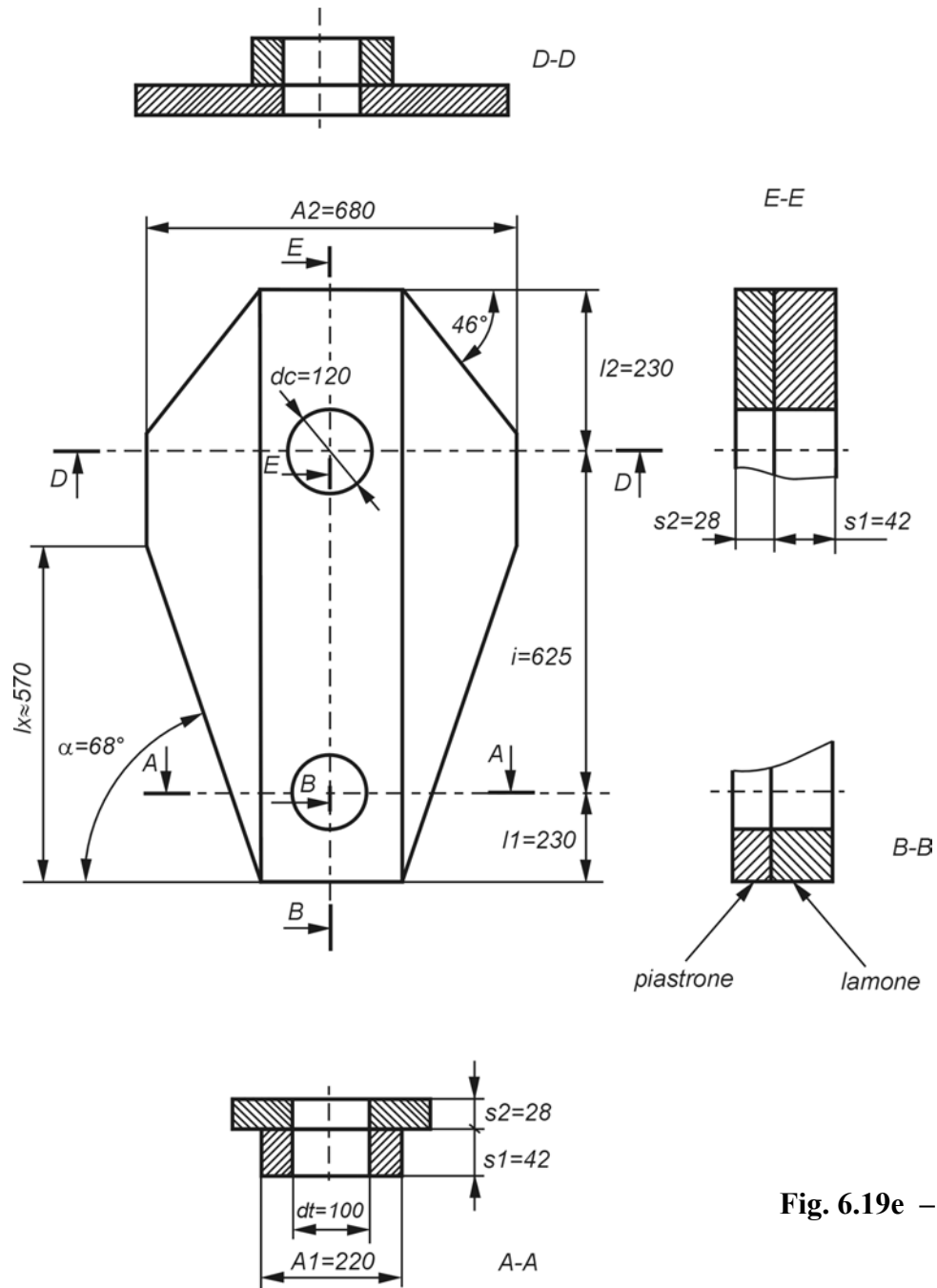


Fig. 6.19d – Schizzo quotato particolari sedi e sfere reggispinta da modellare.



**Fig. 6.19e – Schizzo quotato particolari lamone e piastrone da modellare.**

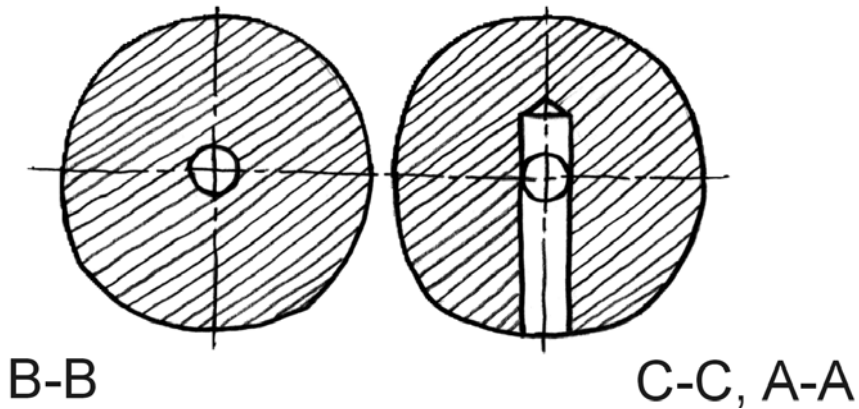
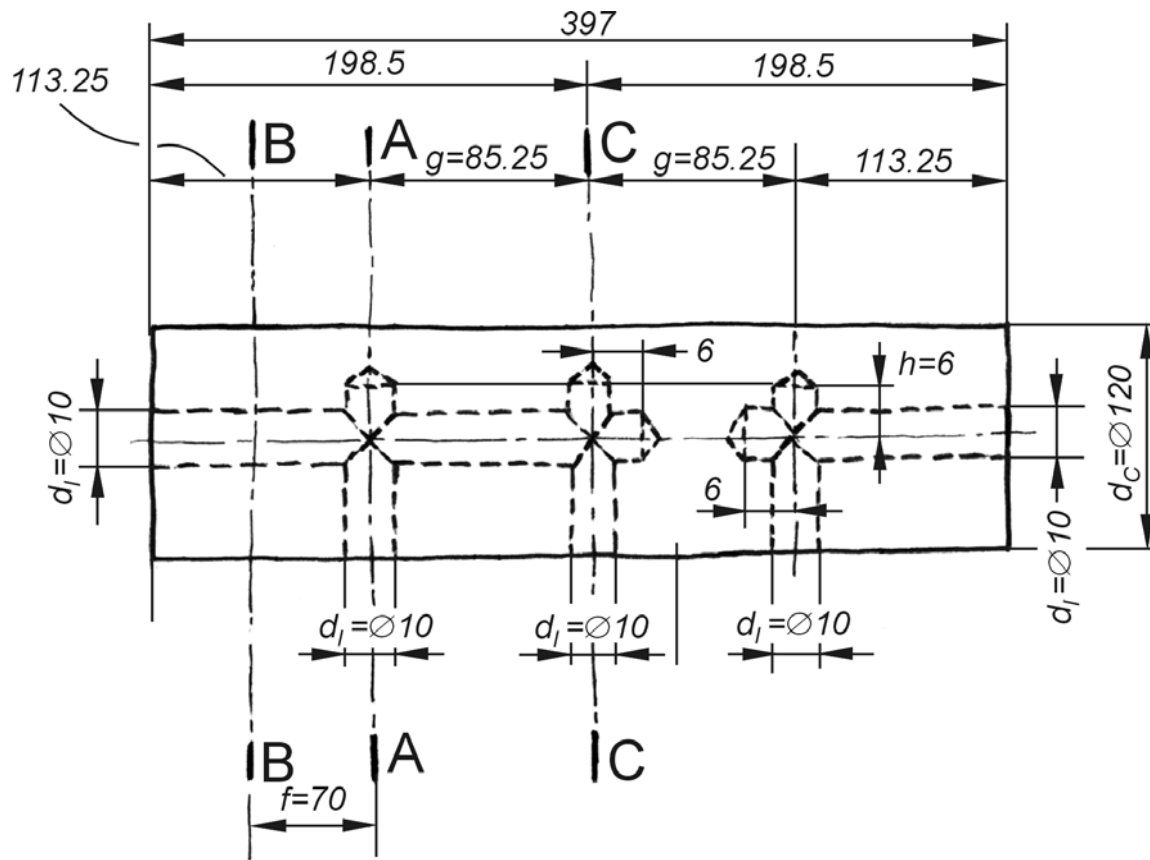


Fig. 6.19f – Schizzo quotato particolare asse da modellare.



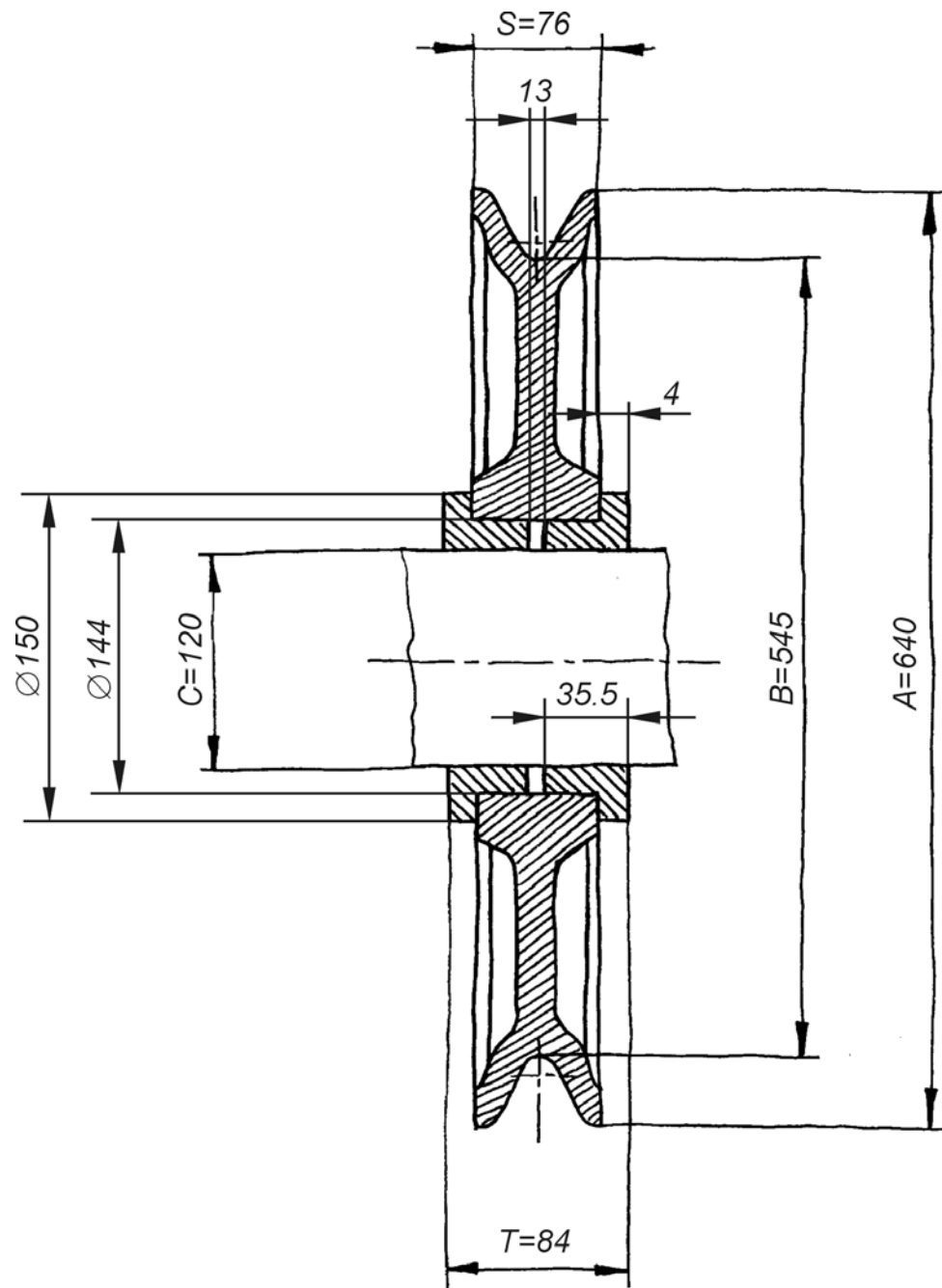


Fig. 6.19g – Schizzo quotato particolare corpo carrucola da modellare,

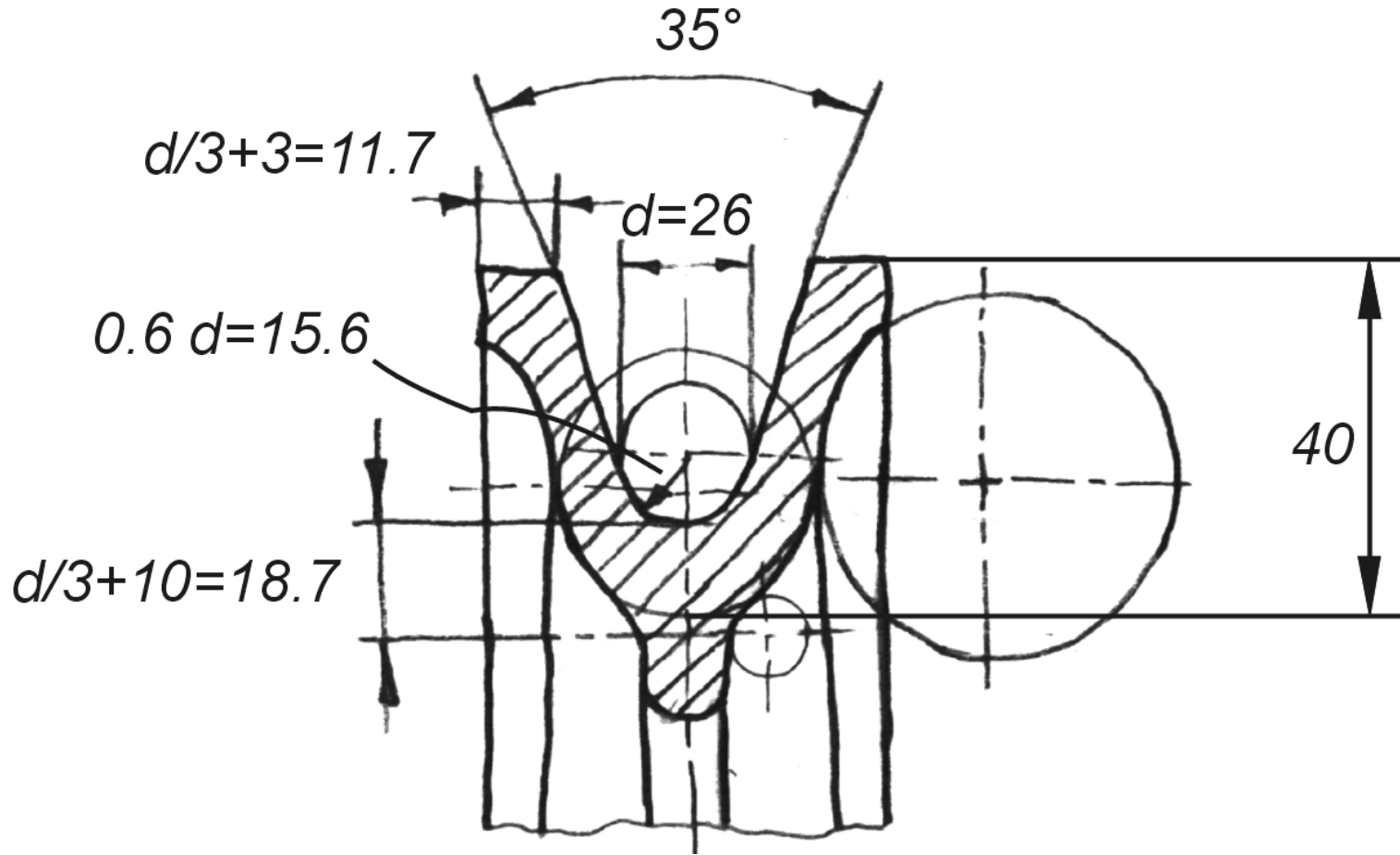


Fig. 6.19h – Schizzo quotato particolare gola carrucola da modellare.